

дели (см. рис. 1); в сечениях  $x/r_0 = -0,5; 0; 0,4; 0,8$  ( $\delta - \vartheta$ ) координата  $y$  отсчитывалась от стенки цилиндра. Расчеты и измерения показали, что при  $Re > 100$  действие инерционных сил приводит к расслоению профилей скорости по  $Re$ .

Обратное течение в кормовой зоне цилиндра обнаружено в опытах при  $Re > 1260$ , скорость обратных течений в этой зоне менее  $0,06u_0$  (расчет показывает возникновение кормовых вихрей при  $Re > 300$ ).

В целом расчет согласуется с экспериментом до  $Re = 1260$ ; для  $Re = 100; 200; 500$  получено удовлетворительное количественное согласие экспериментальных данных и расчета. Предложенная расчетная модель для описания течения около цилиндра в приборе Хил — Шоу позволяет учесть инерционные эффекты.

#### ЛИТЕРАТУРА

1. Бэр Я., Заславски Д., Ирмей С. Физико-математические основы фильтрации воды. М.: Мир, 1971.
2. Жак В. Д., Мухин В. А. и др. Распространение затопленной струи в узкой щели. — ПМТФ, 1985, № 3.
3. Кашинский О. Н., Козьменко Б. К., Накоряков В. Е., Павлов И. А. Экспериментальное исследование гидродинамики потока при истечении жидкости в зазор между параллельными поверхностями. — В кн.: Физические процессы при разработке геотермальных месторождений. Л.: Ленингр. горный ин-т, 1983.
4. Riegels F. Zur Kritik des Hele-Shaw-Versuchs. — Zeitschrift für Angewandte Mathematik und Mechanik, 1938, Bd 18, H. 2.
5. Роуч П. Вычислительная гидродинамика. М.: Мир, 1980.

Поступила 12/II, 1985 г.

УДК 532.533.528

### ОПРЕДЕЛЕНИЕ УСЛОВИЙ ВОЗНИКНОВЕНИЯ КАВИТАЦИИ НА ТЕЛАХ, ОБТЕКАЕМЫХ С ОТРЫВОМ И ПРИСОЕДИНЕНИЕМ ПОГРАНИЧНОГО СЛОЯ

Э. Л. Амромин, В. К. Александров, Ю. Л. Левковский  
(Ленинград)

Теория струй идеальной жидкости в основном удовлетворительно описывает каверны больших размеров за такими кавитаторами, как диск, конус, клин и т. п. В инженерной практике, однако, из-за нежелательных последствий кавитации важно последовать ее начальные стадии и, в частности, определить условия появления каверны на теле или число возникновения кавитации  $\sigma_i$  (т. е. наибольшее значение числа кавитации  $\sigma$ , соответствующее каверне очень малых размеров). В идеальной жидкости  $\sigma_i$  определяется минимумом давления (для тел с острыми кромками допускаются значения  $\sigma \rightarrow \infty$  [1, 2]). Опыты же ([3—6], например) показывают, что, помимо безразмерного коэффициента давления  $C_p$ , очень сильно влияют на  $\sigma_i$  скорость обтекания тела  $V$  и его размер  $D$  (или построенные по  $V$  и  $D$  числа Рейнольдса  $Re$  и Вебера  $We$ ).

Особенно отличаются от измерений предсказания теории струй идеальной жидкости для таких тел, которые в вязкой жидкости даже в отсутствие кавитации обтекаются с отрывом пограничного слоя. Однако методы расчета масштабных эффектов возникновения кавитации для таких тел не были разработаны. Здесь предлагается теория, позволяющая определить зависимости  $\sigma_i(Re, We)$  в тех случаях, когда оторвавшийся пограничный слой снова присоединяется к телу (т. е. для обтекания с отрывными пузырями). Представлены результаты расчетов плоских и осесимметричных течений для профилей и не несущих тел и сопоставление их с экспериментом.

Вычисление  $\sigma_i(Re, We)$  предлагается расчленить на операции расчета отрывного обтекания тела вязкой жидкостью при заданном  $Re$  и определения условий равновесия каверны в зоне отрыва при заданном  $We$ . Для расчета вязкого отрыва здесь модифицирован описанный в [7] метод, а вычисленные при этом значения  $C_p$  и ширины отрывной зоны  $h$  используются при определении  $\sigma_i$  из формулы Лапласа

$$(1) \quad \sigma + C_p + 2r^{-1}We^{-1} = 0.$$

В принятой схеме течения (рис. 1) радиус кривизны границы каверны

$r = h/2$  при  $\sigma = \sigma_i$  (при еще больших  $r$  каверна уже начинает выступать в роли препятствия, вследствие чего увеличивается длина отрывной зоны и уменьшается  $|C_p|$ ).

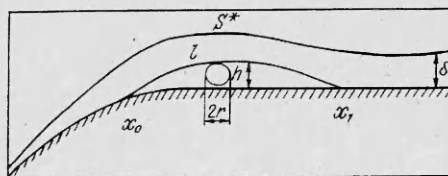


Рис. 1.

Особенности метода расчета течения связаны с величиной допустимой погрешности определения входящих в (1) величин. Обычный разброс измерений  $\sigma_i$  при фиксированных  $Re$  и  $We$  не менее 0,02—0,03, и в то же время изменение  $We$  на 20—40% не выводит  $\sigma_i$  из полосы той же ширины. Поскольку в (1) входит произведение  $rWe$ , то  $h$  и характерные толщины пограничного слоя можно вычислять с примерно такой же погрешностью, что и  $We$ , но  $C_p$  — со значительно большей относительной точностью. Поэтому при вычислении параметров течения в области отрыва (т. е. в области сильного вязко-невязкого взаимодействия) здесь более тщательно, чем в [7], аппроксимируется распределение  $C_p$  и менее подробно описывается оторвавшийся пограничный слой.

При расчете течения с вязким отрывом приняты обычные для течений с вязко-невязким взаимодействием предположения: разделение обтекающего тела потока на вязкий и потенциальный при использовании концепции тела вытеснения [7, 8], а также отсутствие перепада давления поперек вязкого слоя. Влияние вязкого потока на потенциальный осуществляется через форму их общей границы, потенциального на вязкий — через распределение  $C_p$  на ней. Вязкий поток в свою очередь разделяется, как и в [7], на пограничный слой, след и отделенную от пограничного слоя линией нулевого трения  $l$  застойную зону. Границы между упомянутыми частями течения, а также входящие в записываемые на них условия стыковки величины заранее не известны. Поэтому расчет, строго говоря, следует вести последовательными приближениями.

Применяющиеся в данных расчетах потенциального потока методы гидродинамических особенностей, а также интегральные методы расчета пристенного пограничного слоя описаны в [2, 8, 9]. Здесь рассматривается лишь используемая непосредственно для расчета течения в отрывной зоне модификация метода [7]. Относительно же расчетов потенциального потока и пристенного слоя пока достаточно напомнить, что на основе их определяются связанная интегралом Бернулли  $U_p^2 - 1 = C_{рп}$  с коэффициентом  $C_{рп}$  скорость потенциального обтекания  $U_p$  (на определенной в предыдущем приближении границе тела вытеснения  $S$ ), а также значения толщины вытеснения  $\delta^*$  вблизи определяемой из локальных условий отрыва [7, 8] точки  $x_0$  — начала зоны отрыва (в осесимметричном течении  $S$  — меридиональное сечение тела вытеснения). Для нахождения  $x_0$  используются критерии Кочина — Лойцянского (для ламинарного слоя) или Бам — Зеликовича (для турбулентного). Предполагается также, что  $x_0$  — начало линии нулевого трения, а функции  $U_p(s)$  и  $\delta^*(s)$  непрерывны при  $s = x_0$  вместе со своими первыми производными. В отличие от [7] не вводится зона перемежающегося отрыва, а используемый двухпараметрический метод расчета пристенного турбулентного слоя позволяет производить вычисления до значений формпараметра  $H = \delta^*/\delta^{**} = 35/9$ .

Известно из опытов, что эпюра  $C_p$  вдоль отрывного пузыря состоит из двух диффузорных участков и практически изобарической зоны между ними. Однако ни общая длина отрывной зоны  $L$ , ни длины упомянутых участков, ни распределение  $U = (1 - C_p)^{0,5}$  заранее не известны. Если бы  $L$  и  $l_1$ ,  $L - l_2$  (длины упомянутых участков на рис. 2) были определены, то, представив, как и в [10],  $U$  в виде линейной комбинации неопределенных коэффициентов  $C_1, C_2 \dots$  и каких-либо известных функций, можно было бы сначала определить эти коэффициенты из условий отрыва и присоединения пограничного слоя, затем откорректировать по разности

$U - U_{\Pi}$  границу тела вытеснения  $S$  и, наконец, проинтегрировав уравнение оторвавшегося пограничного слоя, найти  $h$ .

Локальные условия отрыва при  $s = x_0$  запишем в виде

$$(2) \quad \frac{U' \delta^{*k+1}}{U D^k} + \frac{\alpha_k}{\text{Re}^k} = 0,$$

а присоединения при  $s = x_1$  (где  $l$  снова присоединяется к телу) как

$$(3) \quad U' \delta^* + 0,015 U = 0;$$

$$(4) \quad R' = 0,$$

где  $k = 1$  для ламинарного слоя и  $k = 0$  для турбулентного;  $\alpha_1 = 1,4$ ;  $\alpha_0 = 0,015$ ;  $R$  — расстояние между известной из прошлого приближения границей тела вытеснения  $S^*$  (пробной поверхностью, по терминологии [2]) и искомой поверхностью  $S$ , на которой скорость должна быть равна  $U$ ;  $R$  откладывается вдоль внешней нормали  $N$  к  $S^*$ ; штрих означает дифференцирование вдоль  $S^*$ .

Условие (3), аналогичное используемому в [11] и формально совпадающее с критерием Бам — Зеликовича, может быть выведено из уравнения Прандтля в форме Клаузера в критической точке на линии нулевого трения при равном 0,03 значении фигурирующей в этой формуле постоянной и при использовании, как и в [7], следного профиля продольной скорости

$$(5) \quad u(\eta) = u_0 + (U - u_0)(3\eta^2 - 2\eta^3)$$

в оторвавшемся пограничном слое. Здесь  $u_0$  — скорость на  $i$ , а  $\eta$  — отнесенная к толщине оторвавшегося слоя его поперечная координата. Условие (4) обеспечивает непрерывность  $\delta^{*'}$  при  $s = x_1$  (и тем самым возможность решения всей задачи последовательными приближениями).

Один и тот же вид условия (3) при  $k = 0$  и 1 связан с тем, что в последнем случае в отрывных пузырях происходит ламинарно-турбулентный переход.

При наличии только трех условий (2)–(4) можно найти только три неопределенных коэффициента. Связь  $R$  с предположительно малой разностью  $U_{\Pi} - U(s, C_1, C_2, C_3)$ , как и в [1, 2, 7], может быть выражена с помощью потенциала простого слоя  $\varphi$  и простых формул для линейных обратных задач:

$$(6) \quad \Delta \varphi = 0;$$

$$(7) \quad \varphi' = U_{\Pi} - U;$$

$$(8) \quad (R U_{\Pi})' + \partial \varphi / \partial N = 0.$$

Исключая  $q$  — плотность потенциала  $\varphi$  — из (7) с помощью (8), можно представить  $R$  также в виде линейной комбинации с коэффициентами  $C_1, C_2, C_3$ . При этом (4) сведется к условию ограниченности функции  $q_1(s) = q(s) - q_0(s)$

$$(4a) \quad \int_{x_0}^{x_1} \frac{\varphi'(q_0, s) + \varphi'(q_1, s) + 0,5 I_k(q_1, s) + U(s) - U_{\Pi}(s)}{[(x_1 - s)(s - x_0)]^{0,5}} ds = 0.$$

Здесь  $I_k$  — интеграл Коши плотности  $q_1$ , определенный при  $x_0 < s < x_1$ , а известная функция  $q_0(s)$  подбирается так, чтобы удовлетворить (8) при  $s = x_0$ , где  $R$  равно разности значений  $\delta^*$  в двух последовательных приближениях (в первом приближении просто значению  $\delta^*(x_0)$  и в линейном приближении  $q_0(x_0) = 2[\delta^* U_{\Pi}]'|_{s=x_0}$ ). Выделение  $I_k$  позволяет в дальнейшем пользоваться формулой Келдыша — Седова для регуляризации (7).

При  $s = x_1$  в соответствии с концепцией тела вытеснения должно также выполняться условие

$$(9) \quad R = \delta^* - \delta_0^*,$$

где  $\delta_0^*$  — вычисленное в предыдущем приближении значение  $\delta^*$  при  $s = x_1$  (в первом приближении  $\delta_0^* \equiv 0$ ). Поэтому при расчетах оказывается удобным выразить  $\delta^*$  в (3) через  $R$  с помощью (9) и в свою очередь  $R(x_1)$  через  $C_1, C_2, C_3$  с использованием (6)—(8), а затем уже решить систему (2), (3), (4а), состоящую из двух линейных и квадратного уравнений относительно этих неопределенных коэффициентов.

После определения  $C_1, C_2, C_3$  с помощью (6)—(8) можно найти  $S$ .

Для отыскания  $L$  используется соотношение (9), левая часть которого вычисляется уже описанным способом по разности  $U - U_n$  с помощью линеаризованных уравнений теории потенциала, а  $\delta^*$  — с помощью уравнения Кармана на  $l$ :

$$(10) \quad U\delta^{**'} + U'\delta^{**}(2 + H) = 0.$$

Приняв для  $u$  над  $l$  профиль (5), можно написать  $H = 35/(9 + 26u_0/U)$ . Функция  $u_0(s)$  аппроксимируется на основе измерений из [12].

Длину  $l_1$  находим согласно результатам измерений [6, 7] и асимптотическим представлениям из [13]:

$$(11) \quad \frac{l_1}{D} = \frac{85kx_c}{Re^{0,625}} + ? \frac{(1-k)\delta^*(x_0)}{Re^{0,03}}$$

(дуговая абсцисса  $x_0$  отсчитывается от критической точки). Длина изобарического участка  $l_2 - l_1$  определяется из вариационного принципа, аналогичного сформулированному в [14] для кавитационных течений: минимизируется  $J = U^2\delta^{**}$  при  $s = x_1$ .

Итак, общий порядок вычислений после определения  $U_n, x_0, l_1$ , а также  $\delta^*$  и  $\delta^{*'}$  при  $s = x_0$  таков: соотношение (9) рассматривается как уравнение относительно  $L$  и решается методом Ньютона; при фиксированном  $L$  длина  $l_2$  подбирается так, чтобы минимизировать  $J$ ; при фиксированных  $l_1, l_2, L$  вычисляются  $C_1, C_2, C_3, R(s)$  и интегрируется уравнение (10), после чего вычисляется невязка в (9) и т. д. Когда такой процесс сойдется в себе, будет определена функция  $C_p(Re, s)$ . Затем, чтобы вычислить  $\sigma_i(Re, We)$ , в (1) в качестве  $h$  принимается максимальное расстояние между  $l$  и поверхностью тела в пределах изобарического участка отрывной зоны; далее, оценив сходимость по  $\sigma_i$ , можно завершать счет или, рассчитав слой при  $s > x_1$  и вязкий след, переходить к новому приближению.

Однако в данных расчетах использовано только одно приближение и вязкий поток при  $s > x_1$  не рассчитывается, а в качестве  $U_n$  принимается скорость потенциального обтекания самого тела. Только для тел с острыми кромками, чтобы обеспечить малость (по сравнению с  $V$ ) правой части (7), производится, как и при расчетах кавитации в идеальной жидкости [2], скругление этих кромок перед вычислением  $U_n$ . Для профилей же при отыскании  $C_{рп}$  приходится корректировать связь коэффициента подъемной силы  $C_y$  с углом атаки  $\alpha$  при помощи описанных в [15] поправок на влияние вязкости. Влияние стеснения потока в трубах на  $U_n$  (для сопоставления расчетов с измерениями [5, 6]) учитывается описанным в [2] способом.

В настоящих расчетах  $U(s)$  принято в виде

$$(12) \quad U(s) = \begin{cases} C_1(s - x_0 - l_1)^2 + C_2 & \text{при } x_0 \leq s < x_0 + l_1, \\ C_2 & \text{при } x_0 + l_1 \leq s \leq x_0 + l_2, \\ C_2 + C_3(s - x_0 - l_2)^2 & \text{при } x_0 + l_2 < s \leq x_1. \end{cases}$$

В связи с важностью точного вычисления  $C_p$  целесообразно сопоставить рассчитанные и измеренные эпюры давления вдоль отрывной зоны. На рис. 2 такое сопоставление приведено для тела с длинной цилиндрической частью диаметра  $D = 0,05$  м и полусферической носовой оконечностью. Экспериментальные точки взяты из [6] и пронумерованы так же, как и расчетные кривые ( $1 - V = 21$  м/с,  $2 - 9$  м/с). Абсцисса  $x$  цилиндрической системы координат отсчитывается от критической точки. Соот-

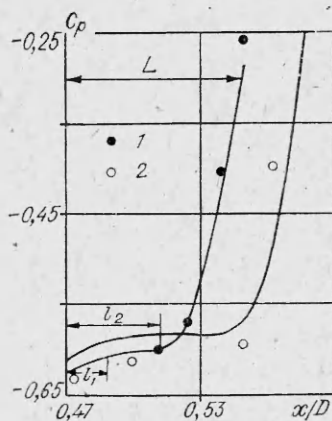


Рис. 2.

приведенные в [16] соотношения, в рамках указанного здесь метода можно было бы учесть и влияние поперечного перепада давления в уравнении Кармана и формуле Лапласа — принципиальных затруднений такие операции не вызовут.

Теоретические значения самой величины  $\sigma_i(\text{Re})$  для тел вращения сопоставляются с измерениями на рис. 3. Три расчетные кривые относятся к трем телам с длинными цилиндрическими частями и одинаковым  $D = 0,05$  м, но с разными носовыми оконечностями. Кривые 1 и 2 соответствуют носам-конусам с углами раствора 45 и 90°, 3 — телу DTNSRDC, меридиональное сечение которого описывается при  $x \in [0, D/2]$  формулой

$$y = D/6 \{2 + [1 - 2(x/D - 1)^2]^{0,5}\},$$

а при  $x = 0$  представляет собой параллельный оси  $y$  отрезок длины  $D/3$ . Соответствующие кривым 1, 2 экспериментальные точки заимствованы из [5], а кривой 3 — из [6]. Значительный участок кривой 1 и экспериментальные точки на ней соответствуют образованию кавитации в зоне турбулентного отрыва и  $\sigma_i \rightarrow \text{const}$  с возрастанием  $\text{Re}$ . Удовлетворительное согласие кривой 1 и измерений [5] косвенно свидетельствует о близости рассчитанной и измеренной эпюры  $C_p$  в зоне турбулентного отрыва. Кривые 2, 3 полностью соответствуют ламинарному отрыву. При  $\text{Re} \geq 10^6 - 1,5 \cdot 10^6$  на носовой оконечности тела DTNSRDC успевают произойти ламинарно-турбулентный переход, а турбулентного отрыва не наблюдается; для этого тела  $|\min C_p| \simeq 0,88$ .

Зависимости  $\sigma_i(\text{Re})$  для плоских течений приведены на рис. 4. Кривые 3, 4 — расчеты для профиля NACA-16012 при  $\alpha = 4$  и  $6^\circ$ . Экспериментальные точки 3, 4 взяты из [4]; построенное же по минимуму  $C_p$  (т. е. без учета влияния вязкости и капиллярности) значение  $\sigma_i$  для, например,  $6^\circ$  превышало бы 3. Кривые и экспериментальные точки 1, 2 — симметричные профили KA-4 и KA-5 при  $\alpha = 0$ . Приведенные на рис. 5 кривыми 1, 2 эпюры  $C_{pн}$  для этих профилей свидетельствуют, что им свойственно типичное для сечений лопастей гребных винтов распределение давления (при тех же местных числах Рейнольдса); для обоих профилей  $D = 0,2$  м. Увеличивающееся при  $\text{Re} > 10^6$  рассогласование предложенной здесь теории и опыта для этих профилей может быть связано не только с ее приближенностью, но и с трудностью наблюдения очень малых каверн.

Расчеты для профилей KA-4 и KA-5 использовались и при проверке аппроксимаций (11). Кривая 2' соответствует длине  $l_1$ , уменьшенной втрое по сравнению с определяемой (11), а кривая 2'' — втрое увеличенной; они свидетельствуют, что даже такое изменение  $l$ , несущественно. Комментируя использование немногочисленных экспериментальных данных для аппроксимации  $u_0$ , надо заметить, что при вычислении  $H$ , как и

ветствие теории и опыта подтверждает, в частности, приемлемость представления (12) для  $U$ , а также достаточность одного приближения для удовлетворительного определения размеров отрывного пузыря и распределения  $C_p$  вдоль его границы. Такое хорошее согласие связано с относительно небольшой толщиной отрывного пузыря в этих примерах. Поэтому мал вклад перепада давления поперек слоя в используемое в (1) значение  $C_p$ . Однако описанная процедура расчета оставляет возможность постепенного уточнения положения и формы отрывной зоны, а также параметров пограничного слоя перед ней: при этом можно полагаться на опыт [2, 10] решения нелинейных задач для развитой кавитации; кроме того, использо-

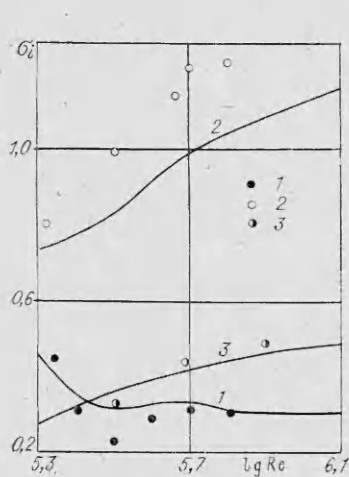


Рис. 3.

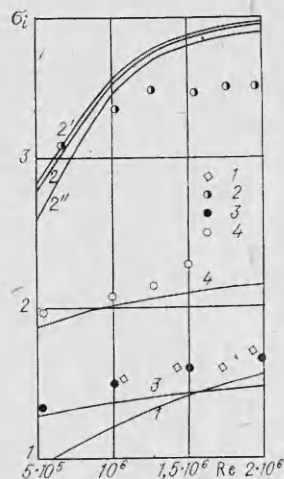


Рис. 4.

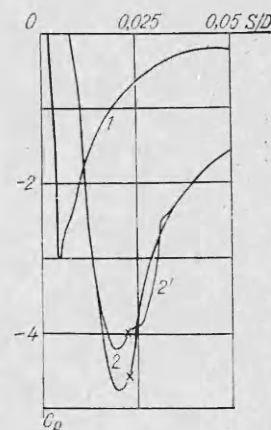


Рис. 5.

в [7], из уравнения эжекции пришлось бы столкнуться с проблемой задания коэффициента смешения вдоль отрывного пузыря.

Для профиля КА-5 кривой 2' нанесена эпюра  $C_p$  при  $Re = 10^6$ . Крестиками на кривых 2 и 2' отмечены значения  $C_{pн}$  и  $C_p$  в начале зоны отрыва пограничного слоя; уже эти величины заметно отличаются, а, как следует из (1),  $\sigma_i$  от  $|C_{pн}|$  отличается еще больше. Поэтому рекомендации [6, 15] принять  $|C_{pн}|$  за  $\sigma_i$  неприемлемы. Сопоставить настоящие расчеты  $\sigma_i$  с какими-либо другими автору не удалось, так как не довелось обнаружить подобных расчетов.

Итак, качественное согласие вычисленных и измеренных значений  $\sigma_i$  достигнуто для всех рассмотренных тел и профилей, а для некоторых из них имеется и хорошее количественное соответствие. Поэтому можно надеяться в дальнейшем на уточнение теории (за счет усовершенствования способа отыскания  $H$  для (10) или увеличения числа приближений, например) в рамках описанной здесь модели явления.

Автор признателен А. В. Васильеву и А. Н. Иванову за полезные дискуссии и помощь в работе.

#### ЛИТЕРАТУРА

1. Седов Л. И. Механика сплошной среды. М.: Наука, 1976, ч. II.
2. Иванов А. Н. Гидродинамика развитых кавитационных течений. Л.: Судостроение, 1980.
3. Lindgren H., Johnson C.-A. Cavitation inception on nead forms ITTS comparative experiments.— In: 11 Internat. Towing Tank Conf. Report of Cavitation Comm. Tokyo, 1966.
4. Meulen van J. H. J. Boundary layer and cavitation studies of NACA-16012 and NACA-4412 Hydrofoils.— In: 13 Symp. on Naval Hydrodynamics. Tokyo, 1980.
5. Pan S., Yang Z., Hsu P. Calculation inception tests on axisymmetric headforms.— Trans. ASME. J. Fluid Engng, 1981, v. 103, N 2.
6. Holl W., Carroll A. J. Observation of the various types of limited cavitation on axisymmetric bodies.— Trans. ASME. J. Fluid Engng, v. 103, N 3.
7. Гогиш Л. В., Степанов Г. Ю. Турбулентные отрывные течения. М.: Наука, 1979.
8. Лойцянский Л. Г. Механика жидкости и газа. М.: Наука, 1971.
9. Дробленков В. В., Каневский Г. И. Влияние введения в поток малых полимерных добавок на гидродинамические характеристики плоских профилей.— Изв. АН СССР. МЖГ, 1981, № 6.
10. Амромин Э. Л., Иванов А. Н. Определение точки отрыва кавитационной каверны с учетом капиллярности и вязкости жидкости.— ДАН СССР, 1982, т. 264, № 4.
11. Roberts W. B. Calculation of laminar separation bubbles and their effect on airfoil performance.— AIAA J., 1980, v. 18, N 1.
12. Simpson R. L., Chew Y.-T., Shivaprasad B. G. The structure of a separating turbulent boundary layer. 1.— J. Fluid Mech., 1981, v. 113.



13. Гогин Л. В., Нейланд В. Я., Степанов Г. Ю. Теория двумерных отрывных течений.— Итоги науки и техники. Гидромеханика, 1975, т. 8.
14. Riabouchinsky D. Sur un probleme de variation.— Comp. rend. acad. sci., 1927, N 185.
15. Гребные винты. Современные методы расчета. Л.: Судостроение, 1983.
16. Гогин Л. В., Степанов Г. Ю. Турбулентные отрывные течения.— Изв. АН СССР. МЖГ, 1982, № 2.

Поступила 14/XII 1984 г.

УДК 532.527

## ВИХРЕВАЯ СТРУКТУРА СЛЕДА ЗА СФЕРОЙ В СТРАТИФИЦИРОВАННОЙ ЖИДКОСТИ

Е. Я. Сыsoва, Ю. Д. Чашечкин  
(Москва)

Динамика образования вихрей при обтекании двумерного тела однородной жидкостью исследована достаточно подробно теоретически (аналитическими и численными методами) и экспериментально [1—3]. Менее полно изучена вихревая структура течения за трехмерным телом. Согласно асимптотическим решениям, при числах Рейнольдса  $Re > 20$  в кормовой части сферы возникает стационарный вихрь [1], структура которого в однородной жидкости экспериментально изучена в [4]. При  $130 < Re < 300$  вихрь пульсирует и начинает отрываться от тела при  $Re > 400$ . Отрыв изолированных вихрей от сферы визуализирован в [5]. Вихревое течение за сферой в неоднородной жидкости исследовано методом подкраски в [6] (всего проведено три опыта). В горизонтальной плоскости наблюдалась последовательность вихрей, подобная дорожке Кармана за цилиндром. В вертикальной плоскости краситель распределялся в двух отдельных слоях, что указывает на расщепление течения за телом. В предположении слабого влияния стратификации построена модель вихревого течения, состоящая из двух пересекающихся спиральных вихревых трубок, в точках контакта которых образуются изолированные вихри с вертикальной осью симметрии. Значение числа Струхала  $Sh$  растет от 0,14 ( $Re = 4300$ ) до 0,22 ( $Re = 17400$ ),  $Sh = nd/U_0$ , где  $d$ ,  $U_0$  — диаметр и скорость сферы,  $n$  — частота схода вихрей.

Численными методами установлено, что стратификация существенно влияет на характер обтекания тела и структуру пограничного слоя [7]. Экспериментально показано, что толщины вязкого и плотностного пограничных слоев в жидкости с солевой стратификацией не совпадают между собой [8]. В неоднородной жидкости завихренность может переноситься не только отдельными вихрями, но и внутренними волнами. В стратифицированной среде вследствие развития неустойчивости Тейлора (когда более тяжелая жидкость оказывается над легкой) и Кельвина — Гельмгольца (когда величина сдвига скорости превышает частоту плавучести) может существовать большее число типов структур спутных течений, чем в однородной. Степень их выраженности определяется соотношением действующих сил. В частности, образование дискретных вихрей может быть связано с генерацией завихренности как в окрестности тела, так и на границе спутного течения, в зоне максимальных градиентов плотности и сдвига скорости. Систематического изучения вихревой структуры течения за трехмерным телом в стратифицированной среде ранее не проводили.

Цель данной работы — экспериментальное изучение вихревой структуры следа за сферой, движущейся горизонтально с постоянной скоростью в жидкости с линейным распределением плотности. Методом теневой визуализации определены типы возникающих вихревых структур и условия их образования.

Эксперименты проведены в бассейне длиной 1,5, шириной 0,4, высотой 0,46 м, который послойно заполнялся водным раствором поваренной соли с переменной концентрацией. Период плавучести измерялся методом плотностной метки [9]. Картина течения регистрировалась с помощью теневых прибора ИАБ-451. В большинстве опытов буксируемое тело закреплялось на закольцованной нихромовой нити диаметром 0,15 мм. Исследовались течения за сферами диаметром  $d = 0,5; 1,0$  и  $2,0$  см в жидкости с периодом плавучести  $T_n = 4,1$  с,  $\Lambda = 420$  см, скорость движения тела не превышала 7 см/с. Все измерения выполнены в средней части бассейна, где скорость движения модели поддерживалась постоянной. Более подробно методика эксперимента приводится в [8]. Геометрические характеристики течений измерялись по теневым кинограммам с помощью компаратора Stecometer (ГДР). Координаты границ течений регистрировались в циф-